

05.2; 08

© 1992

## ВОЗБУЖДЕНИЕ И РЕГИСТРАЦИЯ УЛЬТРАЗВУКОВЫХ КОЛЕБАНИЙ СИСТЕМОЙ СЛАБО СВЯЗАННЫХ МАГНИТНЫХ ЧАСТИЦ

А.А. Кулешов, В.М. Сарнацкий,  
А.А. Шоно

Известно, что явление магнитоакустического эха в порошках ферритов [1, 2] основано на коллективном возбуждении акустических колебаний порошинок из магнитострикционного материала, помещенных в комбинацию переменного и постоянного магнитного полей. Однако непосредственной регистрации таких колебаний и исследований энергетических и спектральных характеристик возникающего при этом потока акустической энергии до настоящего времени не проводилось.

Нами изучена эффективность магнитоакустического и акустомагнитного преобразования (соответственно режим возбуждения и регистрации ультразвука) системой слабо связанных между собой магнитных частиц в зависимости от величины магнитоупругой связи и констант магнитной анизотропии материала частиц, от ориентации и напряженности внешнего магнитного поля, от соотношения между размером частиц, их дисперсией по размеру и частотой ультразвука. Под слабой связью подразумевается минимальная механическая связь между ближайшими частицами, которая достигалась следующим образом:

а) толщина нанесенного слоя частиц выполнялась минимальной, в пределе стремящейся к монослою;

б) распределения частиц по поверхности звукопровода осуществлялось так, чтобы соседние частицы не имели взаимных акустических контактов, т.е. не соприкасались;

в) частицы фиксировались на поверхности звукопровода слоем клея, толщина которого много меньше среднего размера частиц. Слабая связь между частицами дает возможность каждой частице внести практически индивидуальный вклад в кооперативный процесс преобразования. При этом можно ожидать, что наибольшая эффективность преобразования будет достигаться при условии равенства среднего размера частиц  $d$  и половины длины волны ультразвука соответствующей поляризации.

Исследования проводились на установке, блок-схема которой в режиме возбуждения ультразвука показана на рис. 1, где 1 - звукопровод цилиндрической формы с плоскопараллельными торцами, 2 - частицы из магнитострикционного материала, 3 - широкополосный пьезопреобразователь из иодата лития [3], 4 - катушка возбуж-

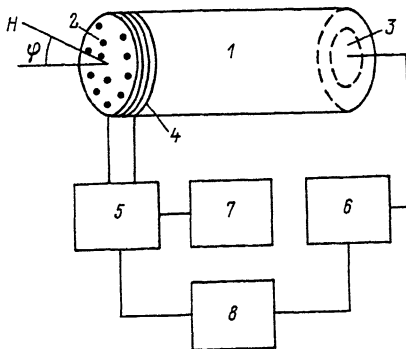


Рис. 1. Блок-схема установки для исследования возбуждения ультразвука системой магнитных частиц.

дения, 5 - генератор радиочастотных импульсов, 6 - широкополосный усилитель, 7 - частотометр, 8 - осциллограф,  $\varphi$  - угол между направлением постоянного магнитного поля  $H$  и перпендикуляром к плоскости расположения магнитных частиц на звукопроводе. В режиме регистрации ультразвука радиочастотные импульсы прикладываются к пьезопреобразователю 3, а регистрируемые сигналы снимаются с катушки 4.

При  $\varphi = 0^\circ$  в звукопроводе 1 возбуждаются и регистрируются преимущественно продольные колебания, при  $\varphi = 90^\circ$  - сдвиговые с ориентацией поляризации строго по направлению постоянного магнитного поля.

Магнитные частицы приготавливались путем механического размельчения и просеивания через мерные сита поликристаллических объемных образцов ферритов с различными магнитоупругими свойствами и с большой разницей констант магнитной анизотропии [4] - железо-иттриевого граната (ЖИГ), марганец-цинковой шпинели (МЦШ), бариевого феррита ( $BaFe_{12}O_{19}$ ), никель-кобальтового феррита ( $Ni_{0.98}Co_{0.02}Fe_2O_4$ ). Размеры частиц варьировались от 25 до 400 микрон, дисперсия по размеру составляла  $\sim 80\%$ .

При подаче на катушку возбуждения 4 от генераторов 5 радиочастотных импульсов длительностью 2-4 мкс и частотой заполнения 5-50 МГц (подбирается исходя из среднего радиуса частиц и типа колебаний) на экране осциллографа 8 регистрируется серия акустических импульсов возбужденных частицами на счет магнитострикции, и испытавших многократные отражения в звукопроводе.

Эффективность преобразования оценивалась по амплитуде  $A$  первого прошедшего через звукопровод акустического импульса. Зависимость величины  $A$  от подмагничивающего поля, показанная на рис. 2, носит монотонный характер с насыщением для различных ферритов в области полей от 8 до 25 КА  $m^{-1}$ . Дальнейшее увеличение поля приводит к уменьшению величины  $A$  вследствие монодо-

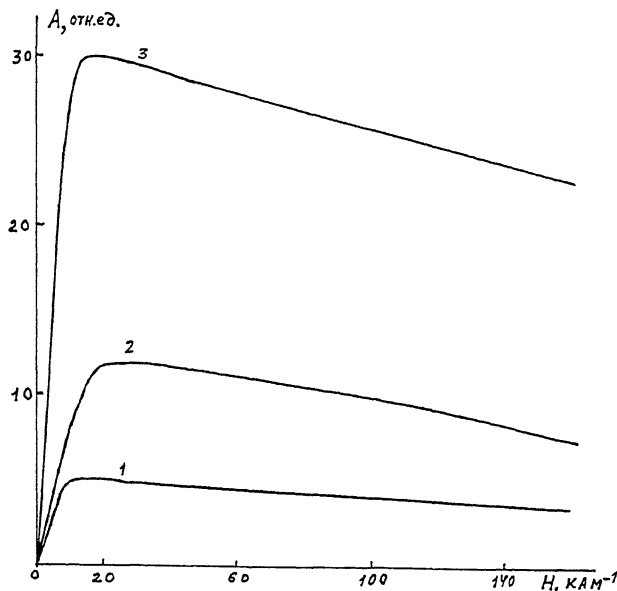


Рис. 2. Зависимости эффективности преобразования ультразвука для различных ферритов от подмагничивающего поля. 1 - ЖИГ, 2 - МЦШ, 3 - никель-кобальтовый феррит.

менизации частиц и увеличения связи между ними по механизму магнитного демпфирования. Амплитудно-частотная характеристика коэффициента преобразования практически повторяет форму кривой распределения частиц по размеру.

В работах [5, 6] при рассмотрении эффективности электромагнитного возбуждения звука в ферромагнетиках за счет воздействия радиочастотного поля на суммарную намагниченность, обусловленную процессами смещения и вращения доменов показано, что смещение  $\mathcal{U}$  для  $180^\circ$  доменных границ определяется

$$\mathcal{U} \sim M_s \cdot \lambda_s \cdot \omega^{-1} \cdot K_1^{-\frac{1}{2}} \cdot h,$$

где  $M_s$  - намагниченность насыщения,  $\lambda_s$  - магнитострикция насыщения,  $K_1$  - константа магнитной анизотропии,  $h$  - напряженность радиочастотного поля,  $\omega$  - частота.

В таблице приведены значения  $A$  в относительных величинах для сдвиговой волны, значения оптимального магнитного поля  $H_{\text{опт}}$ , при котором наблюдается максимум  $A$ , величина намагниченности насыщения  $4/3\pi M_s$ , значения магнитострикции насыщения  $\lambda_s$  и констант магнитной анизотропии  $K_1$  [4] для всех исследованных ферритов. Измерения  $A$  проведены на частоте ультразвука  $\sim 15$  МГц при среднем размере частиц 125 микрон.

Т а б л и ц а

Материал	A	$H_{\text{опт}}'$ , $\text{kAm}^{-1}$	$4/3\pi M_s$ , $\text{kAm}^{-1}$	$\lambda_s$ , $10^{-6}$	$K_1$ , $10^5 \text{Дж м}^{-3}$
ЖИГ	5	8	150	3	-0.006
МЦШ	12	20	400	14	0.002
$Ni_{0.98}Co_{0.02}Fe_2O_4$	30	14	240	30	-0.4
$BaFe_{12}O_{19}$	0	-	800	90	3.3

Из таблицы следует качественное согласие с приведенной выше формулой и четкая корреляция между значениями A и  $\lambda_s$ , величинами  $H_{\text{опт}}$  и значениями намагниченности насыщения. Из общей картины выпадает бариевый феррит, в котором, несмотря на самое большое значение  $\lambda_s$ , эффект преобразования отсутствует из-за больших значений внутреннего поля и величины  $K_1$ .

Проведенные исследования позволяют надеяться на практическую реализацию достаточно эффективных преобразователей ультразвука с заданными спектральными и поляризационными характеристиками на основе порошков ферритов.

### С п и с о к л и т е р а т у р ы

- [1] Е ф и ц е н к о П.Ю., К о т о в Л.Н., Ч а р н а я Е.В.// ФТТ. 1987. Т. 29. В. 8. С. 2424-2428.
- [2] С а р нац к и й В.М., А б а р е н к о в а С.Г., К о т о в Л.Н. // Письма в ЖТФ. 1990. Т. 16. В. 1. С. 7-10.
- [3] Ш у т и л о в В.А., Д о н и т о в М.Д., Н е д б а й А.И.// Вестник ЛГУ. Сер. 4. 1986. Т. 15. В. 1. С. 23-28.
- [4] Т и к а д з у м и С. Физика ферромагнетизма. М.: Мир, 1987. 420 с.
- [5] Г и г и с М.Б. // ФТТ. 1972. Т. 14. В. 12. С. 3563-3567.
- [6] Д р о б о т ъ к о В.Ф., Н а б е р е ж н ы х В.В. // ФНТ. 1980. Т. 6. В. 1. С. 72-79.

С.-Петербургский  
государственный  
университет

Поступило в Редакцию  
12 февраля 1992 г.